

Министерство образования и науки Российской Федерации
НОВОСИБИРСКИЙ ГОСУДАРСТВЕННЫЙ ТЕХНИЧЕСКИЙ УНИВЕРСИТЕТ

ЭЛЕКТРИЧЕСКИЕ МАШИНЫ ПОСТОЯННОГО ТОКА ТЕОРИЯ И РАСЧЕТ

Учебно-методическое пособие

НОВОСИБИРСК
2010

УДК 621.313.2(075.8)
Э 455

Рецензенты
д-р техн. наук, проф. *З.С. Темлякова*,
канд. техн. наук, доц. *В.В. Пастухов*

Работа подготовлена на кафедре электромеханики
и утверждена Редакционно-издательским советом университета
в качестве учебно-методического пособия
по курсовому проектированию

Э 455 **Электрические машины постоянного тока. Теория и расчет**
учеб.-метод. пособие / Г.А. Шаншуров, В.В. Гречкин, А.В. Комаров,
Т.В. Честюнина – Новосибирск: Изд-во НГТУ, 2010 – 60 с.
ISBN 978-5-7782-1403-3

Приведены положения теории, необходимые для расчета электромагнитных процессов и выбора параметров электрических машин, предназначенных для преобразования энергии на основе электромагнитной индукции и взаимодействия магнитного поля с электрическим током.

Предназначено для студентов заочного факультета, обучающихся по направлениям «Мехатроника и автоматизация», «Электротехника, электромеханика и электротехнологии» и не изучавших курса проектирования электрических машин.

УДК 621.313.2(075.8)

ЭЛЕКТРИЧЕСКИЕ МАШИНЫ ПОСТОЯННОГО ТОКА ТЕОРИЯ И РАСЧЕТ

Учебно-методическое пособие

Редактор *Л.Н. Ветцакова*
Выпускающий редактор *И.П. Брованова*
Дизайн обложки *А.В. Ладыжская*
Компьютерная верстка *В.Ф. Ноздрева*

Подписано в печать 25.05.2010. Формат 60×84 1/16. Бумага офсетная. Тираж 200 экз.
Уч.-изд. л. 3,48. Печ. л. 3,75. Изд. № 114. Заказ №. Цена договорная.

Отпечатано в типографии
Новосибирского государственного технического университета
630092 г. Новосибирск, пр. К. Маркса, 20

ISBN 978-5-7782-1403-3

© Шаншуров Г.А., Гречкин В.В.,
Комаров А.В., Честюнина Т.В., 2010
© Новосибирский государственный
технический университет, 2010

ПРЕДИСЛОВИЕ

Требования, предъявляемые к профессиональной подготовке специалиста, разнообразны. Современный инженер должен уметь анализировать необходимую информацию, технические данные, показатели и результаты работы, обобщать и систематизировать их, проводить необходимые расчеты, использовать современные технические средства и информационные технологии.

Предлагаемое пособие по курсовому проектированию составлено для оказания помощи студентам в самостоятельном изучении вопросов теории *электрических машин* (Г1)*, ее применения в разработке *электродвигателя* (Г2) *постоянного тока, снабженного коллектором* (Г3) с определенными свойствами.

Курсовая работа – одна из форм самостоятельной работы студентов, помогающая развивать навыки анализа полученных расчетным путем материалов, а также сформировать самостоятельные суждения и использовать полученные знания в практической трудовой деятельности.

Для оформления курсовой работы следует использовать компьютерные технологии, выполнять расчеты с использованием современных программных продуктов, навыки работы с которыми получены в курсе «Информатика». На кафедру представляется текстовый вариант, оформленный по требованиям ГОСТ 732-2001, отчет о научно-исследовательской работе, общие требования и правила составления.

Курсовая работа включает в себя основные технические требования на проектируемую машину, перечень и содержание основных разделов пояснительной записки и графической части работы. Настоящее пособие знакомит с необходимым минимумом стандартов, которым должна соответствовать проектируемая электрическая машина, а также с методикой расчета элементов машины и ее параметров.

Бланк задания (приложение 3) содержит график работы над проектом, которого студент заочного обучения может придерживаться, согласуя каждый этап работы с преподавателем на консультациях в межсессионный период.

* В скобках указана позиция термина из глоссария.

ВВЕДЕНИЕ

В1. Устройство электрической машины постоянного тока (рис. В1)

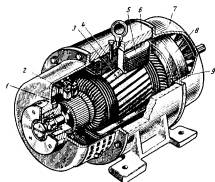


Рис В1 Двигатель постоянного тока

1 – коллектор, 2 – щетки, 3 – сердечник якоря, 4 – сердечник главного полюса, 5 – полюсная катушка, 6 – станина, 7 – подшипниковый щит, 8 – вентилятор, 9 – обмотка якоря

В2. Конструктивные элементы статора (рис. В2–В5)

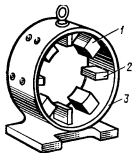


Рис В2 Неподвижная часть машины постоянного тока

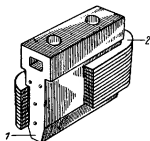


Рис В3 Добавочный полюс 1 – сердечник, 2 – полюсная катушка

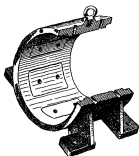


Рис В4 Станина машины постоянного тока

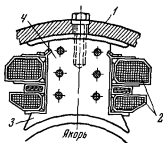


Рис В5 Главный полюс

1 — станина, 2 — полюсная катушка, 3 — полюсный наконечник, 4 — сердечник полюса

В3. Конструктивные элементы ротора (рис. В6–В9)

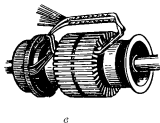
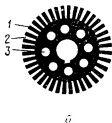
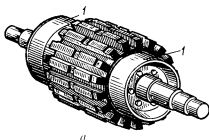


Рис В6 Сердечник якоря

а — якорь без обмотки, б — стальной лист сердечника якоря, в — необмотанный якорь машины постоянного тока

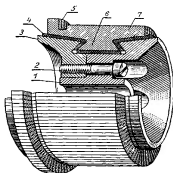


Рис В7 Устройство коллектора 1 – корпус коллектора, 2 – стяжной болт, 3 – нажимное кольцо, 4 – изоляция (миканит), 5 – «петушок», 6 – «ласточкин хвост», 7 – пластины

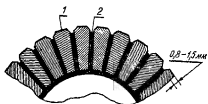


Рис В8 Расположение коллекторных пластин (1) и изоляционных прокладок (2) в коллекторе

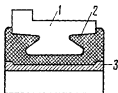


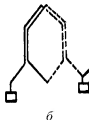
Рис В9 Коллектор на пластмассе

1 – коллекторная пластина, 2 – пластмасса, 3 – стальная втулка

В4. Конструктивные элементы обмотки якоря (рис. В10–В12)



а



б

Рис В10 Двухвитковые секции обмоток а – простой петлевой, б – простой волновой

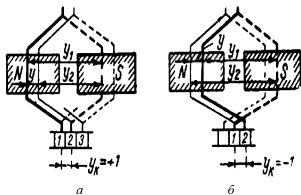


Рис В11 Простая петлевая обмотка

а – правая, б – левая

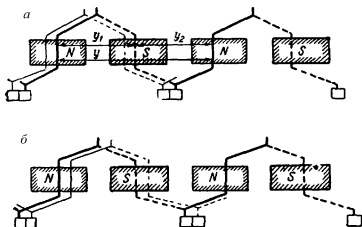


Рис В12 Простая волновая обмотка

а – левая, б – правая

- В двигателях постоянного тока (рис. В1) к щеткам подводится постоянный ток. Роль коллектора (рис. В7–В9) в этом случае состоит в том, чтобы в любой момент времени обеспечить такое распределение тока по обмотке якоря (рис. В10–В12), при котором под полюсами (рис. В5) разной полярности располагались бы проводники с противоположным направлением тока.

- По отношению к выводам сети обмотка якоря разбивается на параллельные ветви. Параллельной ветвью называют группу последовательно соединенных проводников, включенных между щетками разной полярности.

- Электродвижущая сила на выводах машины при холостом ходе (без нагрузки) будет равна ЭДС одной параллельной ветви, а ток в сети при нагрузке будет равен сумме токов параллельных ветвей.

- В замкнутом контуре самой обмотки якоря машины постоянного тока сумма ЭДС равна нулю, поэтому при разомкнутой внешней цепи ток в обмотке возникать не будет.

В5. Система охлаждения двигателя смешанного возбуждения (рис. В13)

Двигатель выполнен с аксиальной системой вентиляции (рис. В13).

Вентилятор установлен на выходе охлаждающего воздуха, обеспечивая вытяжную систему вентиляции. Через коллектор проходит поток газа без подогрева потерями в машине. Поток движется параллельно оси машины, обтекая коллектор, обмотки возбуждения, лобовые части обмотки якоря, магнитопровод ротора, рис. В13.

В6. Потери вращающейся электрической (рис. В14)

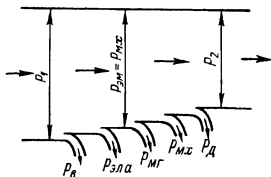


Рис В14 Энергетическая диаграмма двигателя смешанного возбуждения

Потери – мощность (рис. В14), теряемая вращающейся электрической машиной в процессе преобразования энергии. Выделяют основные и добавочные потери.

Основные потери это:

- P_v – на возбуждение в параллельной обмотке,
- $P_{элa}$ – электрические в цепи обмотки якоря (Г22),
- $P_{мг}$ – магнитные (Г10),
- $P_{мх}$ – механические (Г23).

Добавочные потери P_d (Г24).

Электрические машины определенного класса сегодня выпускают серийно. Особенности двигателей серии 2П [1, 2] необходимо отразить в пояснительной записке к курсовой работе.

В7. Объект расчета: двигатель постоянного тока смешанного возбуждения (рис. В15)

В двигателе (рис В1, В15) со смешанным возбуждением (Г4) магнитный поток Φ создается в результате совместного действия двух обмоток возбуждения (Г5) — параллельной и последовательной. Поэтому его скоростная характеристика (Г6) располагается (кривые 3 и 4) между характеристиками двигателей с параллельной (кривая 1)

и последовательной (кривая 2) схемой возбуждения. В зависимости от соотношения МДС параллельной и последовательной обмоток при номинальном режиме можно приблизить характеристику двигателя со смешанным возбуждением к характеристике 1 (при малой МДС последовательной обмотки) или к характеристике 2 (при малой МДС параллельной обмотки). Таким образом, характеристики двигателя со смешанным возбуждением являются промежуточными между характеристиками двигателей с параллельным и последовательным возбуждением, причем по желанию можно выполнить двигатель с любой промежуточной характеристикой

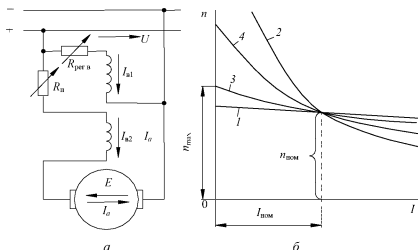


Рис. В15 Двигатель со смешанным возбуждением

а – схема включения обмоток, *б* – скоростные характеристики

Одной из задач проекта является обеспечение требуемых частот вращения в рабочем режиме и на холостом ходу (номинальная и максимальная частоты вращения)

1. ЭЛЕКТРОМАГНИТНЫЙ РАСЧЕТ

Расчет электрической машины – процесс циклический (рис. 1.1): после каждого этапа по ряду критериев принимается решение на продолжение расчета или возврат для коррекции ранее принятых решений.



Рис. 1.1 Блок-схема расчета электрической машины

Величина электромагнитного момента $M_{\text{эм}}$, создаваемого двигателем, определяется, с одной стороны, его главными размерами $D^2 l_\delta$ (диаметром ротора и его длиной) и электромагнитными нагрузками A (линейной нагрузкой) и B_δ (индукцией в воздушном зазоре между главным полюсом и ротором)

$$M_{\text{эм}} = \frac{p A B_{\delta \text{ ср}}}{2a} l \tau D.$$

С другой стороны, она определяется техническим заданием (номинальная мощность $P_{\text{ном}}$ и угловой частотой вращения ω_n)

$$M_{\text{эм}} = P_{\text{ном}} \frac{1 + \eta}{2 \eta \omega_n}.$$

Величина линейной нагрузки A (А/м²)

$$A = \frac{I_n N}{\pi D 2a}$$

определяется в основном допустимой температурой нагрева обмотки якоря, а индукция в воздушном зазоре между главным полюсом и ротором B_δ (Тл) ограничивается магнитными свойствами пакета ротора (предельно допустимой индукцией в зубцах).

Здесь:

- коэффициент полезного действия η ;
- число пар полюсов и параллельных ветвей обмотки якоря – p и $2a$;
- длина, диаметр ротора и полюсное деление – l, D, τ ;
- число проводников обмотки якоря – N ;
- номинальный потребляемый ток – I_n .

Приведенные соотношения определяют методику (цикл) проектирования:

- номинальная мощность $P_{ном}$ и угловая частота вращения $\omega_n \rightarrow$
- электромагнитный момент $M_{эм} \rightarrow$
- главные размеры $D^2 l_\delta \rightarrow$
- электромагнитные нагрузки A и $B_\delta \rightarrow$
- номинальная мощность $P_{ном}$ и угловой частотой вращения ω_n

1.1. ВЫБОР ЭЛЕКТРОМАГНИТНЫХ НАГРУЗОК И ГЛАВНЫХ РАЗМЕРОВ

Предварительно электромагнитные нагрузки A и B_δ следует выбирать в пределах рекомендованных в методике значений для заданного типоразмера машины, где A – это линейная нагрузка, а B_δ – амплитуда индукции в воздушном зазоре. Так как допускается относительно широкое варьирование этих величин, то при проектировании необходимо руководствоваться следующим. Выбор больших (по верхним пределам допустимых областей) значений для обеих величин A и B_δ приводит к уменьшению габаритов машины и ее весовых показателей, но одновременно ухудшает энергетические показатели и увеличивает перегрев частей электрической машины.

Если A и B_δ выбрать ближе к нижним пределам области, то размеры машины увеличиваются. При этом объем ее активной части остается недоиспользованным. Для правильного выбора электромагнитных нагрузок следует учесть, что от их соотношения в значительной мере зависят особенности основных характеристик машины, определяемых

дополнительными требованиями технического задания или предполагаемыми условиями работы проектируемой машины.

Выбранные значения A и B_δ определяют только необходимый «объем» активной части машины $D^2 l_\delta$, который может быть получен при различных соотношениях главных размеров.

Выбранные значения A и B_δ после расчета *обмотки якоря* (Г7) также могут несколько измениться, однако при этом никаких пересчетов и корректировки главных размеров, как правило, не требуется.

1. Предварительное значение η (КПД) от номинальной мощности для двигателя выбираем исходя из накопленного опыта создания электрических машин (см. [1, рис.11.7]).

Для проектируемых двигателей КПД выбираем из табл. 1.1

Т а б л и ц а 1.1

P_n , кВт	10	30	100
η_n %	82	86	89
$K_v = I_v / I_n$	0,035	0,033	0,02

2. Предварительное значение тока двигателя, А

$$I_{ном1} = \frac{P_{ном}}{\eta U_{ном}}.$$

3. Ток якоря, А

$$I_{ном} = 1 + k_v I_{ном1},$$

где k_v - коэффициент, определяющий отношение тока возбуждения к току якоря, определяется исходя из мощности машины, табл. 1.1 (см. [1, табл. 11.8]).

4. Электромагнитная мощность, Вт

$$P = P_{ном} \frac{1 + \eta}{2\eta}.$$

5. Диаметр якоря D и связанные с ним электромагнитные нагрузки выбираем по заданной высоте оси вращения из табл. 1.2.

Таблица 12

h , мм	80	90	100	112	132	160	180	200	225	250	280	315
D , мм	73	82	93	109	130	160	181	202	230	258	290	330
$A \cdot 10^{-4}$, А/м	0,9	1,0	1,1	1,3	1,5	1,8	2,1	2,3	2,6	2,9	3,2	3,9
B_{δ} , Тл	0,57	0,58	0,58	0,6	0,62	0,65	0,66	0,68	0,71	0,73	0,76	0,8
α_{δ} , о е	0,56	0,57	0,58	0,59	0,6	0,61	0,62	0,63	0,64	0,65	0,66	0,67

6. Выбираем линейную нагрузку якоря A , А/м (см. [1, рис. 11.9]).

7. Выбираем величину магнитной индукции ($G8$) в воздушном зазоре ($G9$) B_{δ} , Тл (см. [1, рис. 11.10]) и расчетный коэффициент полюсной дуги α_{δ} (см. [1, рис. 11.8]) и табл. 1.2.

8. Расчетная длина якоря, м

$$l_{\delta} = \frac{6,1P}{\alpha_{\delta} A B_{\delta} D^2 n_{ном}}.$$

9. Отношение длины магнитопровода якоря к его диаметру

$$\lambda = \frac{l_{\delta}}{D}$$

для проектируемого класса двигателей находится в диапазоне 1,2...0,8.

Эта величина определяет ряд характеристик электродвигателей: неравномерность нагрева конструктивных элементов в продольном направлении, качество охлаждения и время разгона и другие показатели, которые в общем случае находятся в противоречии.

1.2. ОПРЕДЕЛЕНИЕ ПАРАМЕТРОВ МАГНИТНОЙ СИСТЕМЫ И ОБМОТКИ ЯКОРЯ

Одна из задач электромагнитного расчета при проектировании электрической машины заключается в формировании структуры магнитной системы преобразователя и выборе параметров обмотки якоря, по которой протекает ток нагрузки. В современных электрических машинах якорные обмотки размещают в пазах магнитной системы, в машинах постоянного тока – в пазах магнитной системы ротора (см. рис. В2).

Индуктор – источник поля возбуждения электрической машины расположен на статоре: сосредоточенные катушки из медного провода на магнитных сердечниках (полюсах) сложной конфигурации.

1.2.1. ЧИСЛО ПОЛЮСОВ

Число полюсов машины (см. рис. В2, В5) выбирается в зависимости от диаметра якоря по соответствующим рекомендациям. При этом надо иметь в виду, что увеличение $2p$ приводит к уменьшению магнитного потока на полюсе (при выбранной индукции) и шага обмотки, а следовательно, и к уменьшению сечения магнитопровода, т.е. к снижению веса и габаритов всей машины. Однако с увеличением числа полюсов усложняется конструкция машины, увеличивается трудоемкость ее изготовления, растет среднее напряжение между пластинами коллектора и увеличиваются *магнитные потери* (Г10) в стали якоря из-за увеличения частоты перемагничивания. Аналог проектируемого двигателя – двигатель серии 2ПН, он выполняется с числом полюсов $2p = 4$.

10. Выбираем число полюсов $2p$ в соответствии с рекомендациями

11. Полюсное деление, м

$$\tau = \frac{\pi D}{2p}.$$

12. Расчетная ширина полюсного наконечника, м

$$b_{\delta} = \alpha_{\delta} \tau.$$

13. Действительная ширина полюсного наконечника при эксцентричном зазоре равна расчетной величине, м

$$b_p = b_{\delta}.$$

1.2.2. ОБМОТКА, ПАЗЫ И ЯРМО ЯКОРЯ

Основной задачей настоящего раздела является размещение в зубцовой зоне якоря проводников обмотки, число которых (N) определяется выбранными ранее величинами A , B_{δ} и $2p$.

Для этого рассматривают несколько вариантов обмотки с различными числами реальных *пазов* (Г11) Z , элементарных пазов (число секций в якорной катушке) U_{π} и витков секции w_c и выбирают наи-

лучший из них, численно совпадающий с предварительно определенным числом эффективных проводников N . Если на якоре предполагается применить волновую обмотку, следует учесть, что она может быть выполнена симметричной не при всяком соотношении значений U_n , w_c , и $2p$; применение обмотки с «мертвой» секцией должно быть детально обосновано и при массовом производстве не рекомендуется.

Число параллельных ветвей простой волновой обмотки $2a = 2$. Обмотку, как правило, выполняют симметричной, что осуществимо, если U_n не имеет общего делителя с p . Например, при $p = 2$ значение U_n может быть равно 3 или 5, но не 2 или 4. Для улучшения коммутации и уменьшения пульсации магнитного потока $Z/2p$ должно равняться дробному числу

$$\frac{Z}{2p} = A + \frac{b}{c},$$

где A – любое целое число; c – знаменатель дроби, на который $2p$ должно делиться без остатка, но не быть после сокращения дроби равным двум; b – числитель дроби в пределах от 1 до $(c - 1)$. Отсюда следует, что у четырех полюсных двигателей значение $Z/2p$ равно $A + 1/4$ или $A + 3/4$, а Z/p – целое число $\pm 0,5$.

Простая волновая обмотка не требует уравнительных соединений.

У двигателей с высотами оси вращения $h \leq 315$ мм применяют равносекционную обмотку. Для улучшения коммутации двигателей с $h > 355$ мм, работающих в более тяжелых условиях, волновую обмотку выполняют ступенчатой.

Таблица 13

$2p$	$2a$	Z_2	K	Z_2/p	K/p	U_n	y_n	$y - y_n$	y_1	y_2
4	2	Нечетное	Нечетное	Целое + 0,5	Целое + 0,5	1, 3, 5	$(z_2/2p) \pm \varepsilon =$ целое число	$(k \pm 1)/p$	$U_n y_n$	$Y - y_1$

Для унификации штампов в некоторых случаях применяют несимметричную обмотку с «мертвыми» секциями, не присоединяемыми

к коллектору. Такое исполнение с одной «мертвой» секцией в двигателях мощностью до 100 кВт и при $K > 100$ не ухудшает (Г12) коммутации. При выборе параметров простой волновой равносекционной обмотки следует обращаться к табл. 1.3.

1.2.3. ВЫБОР ОБМОТКИ ЯКОРЯ

14. Выбираем простую волновую обмотку с числом параллельных ветвей $2a - 2$.

15. Ток параллельной ветви, А

$$I_a = \frac{I_{\text{ном}}}{2a}.$$

16. Предварительное общее число эффективных проводников

$$N = \frac{\pi D A}{I_a}.$$

17. Крайние пределы чисел пазов якоря

$$Z_{\min} = \frac{\pi D}{t_{z1\max}}; \quad Z_{\max} = \frac{\pi D}{t_{z1\min}},$$

где $t_{z1\max}$ и $t_{z1\min}$ соответственно максимальная и минимальная величина зубцового деления

Для высот оси вращения $h - 80 - 200$ мм ориентировочные значения $t_{z1} = 10 - 20$ мм

Из полученного диапазона чисел пазов предварительно задаемся числом пазов якоря Z (следует уточнить в п. 20 настоящего расчета)

Зубцовое деление якоря, м

$$t_{z1} = \frac{\pi D}{Z}.$$

18. Число эффективных проводников в пазу

$$N_n = \frac{N}{Z}$$

округляем до целого числа, после этого уточняем общее число эффективных проводников

$$N = N_n Z.$$

19 Выбираем полузакрытый паз (рис 1 2) овальной формы с параллельными сторонами зубца (Г13)

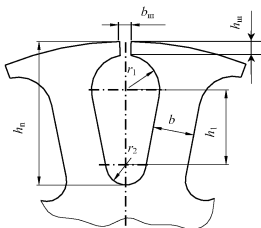


Рис 1 2 Паз якоря

20 Число коллекторных пластин K для различных значений $U_n = K/Z$ выбираем по табл 1 4

Т а б л и ц а 1 4

Номер варианта	U_n	Z	$K = U_n Z$	$w_c = N/2K$	$U_{к\text{ ср}} = 2pU_{\text{ном}}/K, \text{ В}$
1					
2					

В таблице рассматриваем три значения $U_n = 1, 3, 5$ и для каждого значения U_n рассматриваем все возможные значения числа пазов от минимального до максимального

Здесь U_n – число секций в якорной катушке, w_c – среднее число витков в секции, $U_{к\text{ ср}}$ – напряжение между коллекторными пластинами

Величина напряжения между коллекторными пластинами не должна превышать 16 В При выборе окончательного варианта следует учесть, что в реальной машине среднее число витков в секции может быть не целым числом Число витков в секциях, расположенных в одном реальном пазу, может быть выбрано отличающимся на единицу,

например, при $U_n = 3$: $w_{c1} = 2$, $w_{c2} = 3$, $w_{c3} = 2$, тогда число эффективных проводников

$$N = 2Z \sum_i w_{c_i} ,$$

где среднее значение $w_c = 7/3 = 2,33$.

После выбора окончательного варианта следует сравнить число пазов Z с выбранным в п. 17 настоящего расчета, при необходимости расчет повторить

Эквивалентное число пазов

$$Z_{\text{экв}} = K .$$

Число проводников в секции

$$N_c = \frac{N}{2w_c} .$$

21. Уточняем линейную нагрузку, А/м

$$A = \frac{NI_a}{\pi D} .$$

22. Корректируем длину якоря, м

$$l_{\delta} = \frac{6,1P}{\alpha_{\delta} AB_{\delta} D^2 n_{\text{ном}}} .$$

23. Наружный диаметр коллектора при полузакрытых пазах, м

$$D_{k \text{ max}} = 0,8D ; \quad D_{k \text{ min}} = 0,65D .$$

Из ряда предпочтительных чисел.

56, 63, 71, 80, 90, 100, 112, 125, 140, 160, 180, 200..

(см. [1, § 11.4, с 608–609]) выбираем диаметр коллектора D_k

24. Окружная скорость коллектора, м/с

$$v_k = \frac{\pi D_k n_{\text{ном}}}{60} .$$

25. Коллекторное деление, м

$$t_k = \frac{\pi D_k}{K}.$$

26. Полный ток паза, А

$$I_{\text{п}} = \frac{\pi D A}{Z}.$$

27. Предварительное значение плотности тока в обмотке, А/м²

Предварительно (табл. 1.5) выбираем пропорциональным пересчетом (см. [1; рис 11.11]) значение AJ_a , тогда

$$J_a = \frac{AJ_a}{A}.$$

Таблица 1.5

D , мм	0	100	200	300	400
AJ , А ² /м	$1 \cdot 10^{11}$	$1,4 \cdot 10^{11}$	$1,8 \cdot 10^{11}$	$2 \cdot 10^{11}$	$2,2 \cdot 10^{11}$

28. Сечение эффективного провода, м². Предварительное значение

$$q = \frac{I_a}{J_a}.$$

Выбираем вспнуую обмотку с круглыми проводниками (табл. 1.6), где

марка провода – ПЭТВ (см. [1, табл. ПЗ.1]),

диаметр неизолированного проводника d_r , м,

диаметр изолированного проводника $d_{\text{из}}$, м,

– площадь поперечного сечения голого провода $q_{\text{эл}}$, мм².

Для повышения надежности вспнуой обмотки и облегчения ее укладки диаметр изолированного провода не должен превышать 1,8 мм. При больших значениях диаметра эффективные проводники подразделяют на элементарные.

Выбираем число элементарных проводников $n_{\text{эл}}$, сечение провода $q_{\text{эл}}$, мм²

Окончательное значение сечения эффективного проводника обмотки якоря

$$q = q_{\text{эл}} n_{\text{эл}}.$$

Таблица 16

$d_{г, мм} / d_{ст, мм} / q_{ст, мм}^2$	$d_{г, мм} / d_{ст, мм} / q_{ст, мм}^2$	$d_{г, мм} / d_{ст, мм} / q_{ст, мм}^2$
0,08	0,1	0,00502
0,09	0,11	0,00636
0,1	0,122	0,00785
0,112	0,134	0,00985
0,125	0,147	0,01227
0,14	0,162	0,01539
0,15	0,18	0,01767
0,16	0,19	0,0201
0,17	0,2	0,0227
0,18	0,21	0,0255
0,2	0,23	0,0314
0,224	0,259	0,0394
0,25	0,285	0,0491
0,28	0,315	0,0616
0,315	0,35	0,0779
0,335	0,37	0,0881
0,355	0,395	0,099
0,375	0,415	0,1104
0,4	0,44	0,1257
0,425	0,565	0,1419
0,45	0,49	0,159
0,5	0,545	0,1963
0,56	0,615	0,246
0,6	0,655	0,283
0,63	0,69	0,312
0,71	0,77	0,396
0,75	0,815	0,442
0,8	0,865	0,503
0,85	0,915	0,567
0,9	0,965	0,636
0,95	1,015	0,709
1,0	1,08	0,785
1,06	1,14	0,883
1,12	1,2	0,985
1,18	1,26	1,094
1,24	1,33	1,227
1,32	1,405	1,368
1,4	1,485	1,539
1,5	1,585	1,767
1,6	1,685	2,011
1,7	1,785	2,27
1,8	1,895	2,54

Спецификация паза якоря приведена в табл. 17

Таблица 17

	Номер позиции	Наименование	Толщина	Число слоев
	1	Обмотка	—	—
	2	Изофлекс	0,16 мм	1
	3	Стеклотекстолит	1 мм	1

1.2.4. РАСЧЕТ ГЕОМЕТРИИ ЗУБЦОВОЙ ЗОНЫ

Для магнитопровода якоря принимаем сталь марки 2312

29 Сечение полузакрытого паза S_0 (см [1, рис. 11.21]) при предварительно принятом коэффициенте заполнения паза k , от 0,68 до 0,72

$$S_0 = \frac{N_{II} n_{эл} d_{из}^2}{k_3}.$$

Эскиз зубцово-пазовой зоны приведён на рис. 11.13 [1]

30. Высота паза (табл. 1.8) предварительно $h_{п}$, м (по рис. 11.12 [1])

Т а б л и ц а 1 8

D , мм	50	100	150	200	320
$h_{п}$, мм	16	20	22	28	35

Высота шлица паза $h_{ш} \approx (0,5 \dots 0,8) 10^{-3}$ м.

Ширина шлица паза $h_{ш}$, м. Ширина шлица принимается больше суммы максимального диаметра изолированного проводника и двусторонней толщины изоляции.

31. Ширина зубца, м

$$b_z = \frac{B_{\delta} t_{z1}}{B_z k_c},$$

где B_z – допустимое значение индукции в стали зубца, выбирается (см. [1, табл. 11.9]) по частоте перемагничивания стали зубцов (табл. 1.9), где

$$f = pn/60, \quad \text{при } p = 2;$$

Т а б л и ц а 1 9

n , об/мин	3000	2250	1500	750
f , Гц	100	75	50	25 и ниже
B_z , Тл	1,4 1,6	1,5 1,7	1,55 1,75	1,6 1,8

k_c – коэффициент заполнения магнитопровода якоря сталью из табл. 1.10.

Т а б л и ц а 1 10

Толщина листа, мм	Изоляция листов	
	оксидированных	лакированных
I	0,98	0,97

0,5	0,95	0,93
0,35	0,93	0,91
0,3	0,92	0,89
0,28	0,91	0,88

32. Большой радиус, м

$$r_1 = \frac{\pi D - 2h_{ш} - Zh_z}{2\pi + Z}.$$

33. Меньший радиус, м

$$r_2 = \frac{\pi D - 2h_{ш} - Zh_z}{2Z - \pi}.$$

34. Расстояние между центрами радиусов, м

$$h_1 = h_{ш} - h_{ш} - r_1 - r_2.$$

35. Минимальное сечение зубцов якоря, S_z м²; расчетное сечение паза $S_{ш}$ м², при большом различии $S_{ш}$, S_0 размеры паза корректируются

$$S_z = \frac{Z\alpha_8 h_z l_8 k_c}{2p}; \quad S_{ш} = \frac{\pi}{2} r_1^2 + r_2^2 + r_1 + r_2 h_1.$$

36. Предварительное значение ЭДС, В

$$E_{ном} = U_{ном} K_d,$$

где K_d – коэффициент, учитывающий внутреннее падение напряжения, для мощностей в диапазоне 10...100 кВт $K_d = 0,85...0,97$ (см. [1, табл. 11.8])

37. Предварительное значение магнитного потока на полюс в случае простой волновой обмотки, Вб

$$\Phi_{\delta ном} = \frac{60E_{ном}}{pNn_{ном}}.$$

38. Индукция в сечении зубцов, Тл

$$B_z = \frac{\Phi_{\text{оном}}}{S_z}.$$

1.2.5. РАСЧЕТ ОБМОТКИ ЯКОРЯ

39. Длина лобовой части витка, м

$$l_{\text{л}} = 1,35\tau.$$

40. Средняя длина витка обмотки якоря (рис. 1.3), м

$$l_{\text{ср}} = 2 l_{\text{п}} + l_{\text{л}},$$

где $l_{\text{п}}$ – длина паза якоря, принимаем равной длине якоря l_{δ} .

41. Полная длина обмотки якоря, м

$$L_{\text{ма}} = \frac{N l_{\text{ср}}}{2}.$$

42. Сопротивление обмотки якоря при 20 °С, Ом

$$R_a = \frac{L_{\text{ма}}}{57 \cdot 10^6 q_a^2 a^2},$$

здесь $q_a = q$

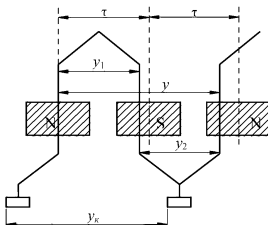


Рис. 1.3 Фрагмент схемы волновой обмотки

43. Сопротивление обмотки якоря при 75 °С, Ом

$$R_{aH} = 1,22 R_a.$$

44. Масса меди обмотки якоря, кг

$$m_{ma} = 8900 L_{ma} q_a.$$

45. Расчет шагов обмотки:

а) шаг по коллектору и результирующий шаг

$$y_k = \frac{K-1}{p}; \quad y = y_k;$$

б) первый частичный шаг

$$y_1 = \frac{K}{2p} \cdot \varepsilon,$$

здесь ε – см в табл. 1.3;

в) второй частичный шаг

$$y_2 = y_k - y_1.$$

1.3. РАСЧЕТ МАГНИТНОЙ ЦЕПИ

1.3.1. ОПРЕДЕЛЕНИЕ РАЗМЕРОВ МАГНИТНОЙ ЦЕПИ

Размеры главных полюсов, диаметр и толщину станины выбирают минимальной величины исходя из допустимого уровня индукции в них, условия размещения обмоток возбуждения и механической прочности. Внутренний диаметр станины определяется предварительно и уточняется после расчета обмоток возбуждения и составления эскиза их расположения (рис. 1.4) на *полюсах* (Г14).

Увеличение воздушного зазора приводит к уменьшению влияния реакции якоря (Г15), но требует увеличения мощности обмоток возбуждения.

46. Предварительное значение внутреннего диаметра якоря и диаметра вала, м

$$D_0 = 27 \cdot 10^{-3} \sqrt[3]{\frac{P_{\text{ном}}}{n_{\text{ном}}}}.$$

Согласно табл. 1.11 выбираем стандартизированное значение D_0

Т а б л и ц а 1 11

D_0 мм	24	28	38	50	55	60	65
----------	----	----	----	----	----	----	----

47. Высота спинки якоря (см. [1, рис. 11.13]), м

$$h_f = \frac{D - D_0}{2} - h_{\text{ш}}.$$

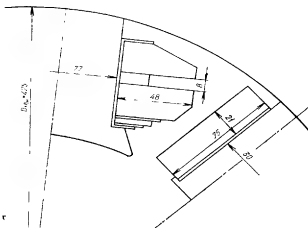


Рис 14 Эскиз главного и добавочного полюсов с обмотками возбуждения и обмоткой добавочного полюса

48. Для сердечников главных полюсов (см. рис. В5) выбираем сталь марки 3411 толщиной 0,5 мм.

49. При исполнении машины по степени защиты IP44 и способам охлаждения IC0041 и IC0141 индукция в сердечнике главного полюса для холоднокатаных сталей поддерживается в диапазоне $B_r = 1,3 \dots 1,5$.

50. Коэффициент магнитного рассеяния главного полюса принимается равным $\sigma_r = 1,15 \dots 1,2$.

51. Ширина выступа полюсного наконечника, м

$$b_{гв} = 0,1 \dots 0,15 \ b_p.$$

52. Ширина сердечника главного полюса b_l , м

$$b_l = (b_p - 2b_{гв}).$$

53. Проверяем величину индукции в сердечнике полюса, Тл

$$B_r = \sigma_r \Phi_{\text{вном}} / (k_c l_l b_l),$$

где $l_l = l_\delta$ и сравниваем с рекомендуемым значением (см. п. 49)

54. Сечение станины, м²

$$S_c = \frac{\sigma_1 \Phi_{\text{оном}}}{2B_c},$$

здесь коэффициент рассеяния $\sigma_1 = 1,15$, $B_c = 1,3$ – рекомендуемая индукция в стали, Тл (см. [1, § 11.6]).

55. Длина станины, м

$$l_c = l_r + 0,4D.$$

56. Высота станины, м

$$h_c = \frac{S_c}{l_c}.$$

57. Внешний диаметр станины, м

$$D_{\text{вн}} = 2h - 8 \dots 10 \cdot 10^{-3}.$$

58. Внутренний диаметр станины, м

$$d_c = D_{\text{вн}} - 2h_c.$$

59. Высота главного полюса, м

$$h_l = \frac{d_c \cdot D}{2} \frac{2\delta}{2},$$

здесь δ – воздушный зазор (см. [1, рис. 11.17]), величина которого определяется с учетом влияния реакции якоря и при выполнении одинаковой величины вдоль главного полюса может быть выбрана из табл. 1.12

Т а б л и ц а 1 12

D , мм	100	125	150	175	200
δ , мм	0,6 1,0	0,8 1,2	1 2 1,8	1,5 2 0	1 5 2,1

Большая величина зазора обеспечивает устойчивую работу электродвигателя, но при этом увеличивается расход меди на обмотки возбуждения.

1.3.2. РАСЧЕТНЫЕ СЕЧЕНИЯ МАГНИТНОЙ ЦЕПИ

60. Сечение воздушного зазора, м²

$$S_{\delta} = b_p l_{\delta}.$$

61. Длина стали якоря, м

$$l_{ст} = l_{\delta} k_c.$$

62. Минимальное сечение зубцов якоря, м²

$$S_z = \frac{Z \alpha_{\delta} b_z l_{\delta} k_c}{2p}.$$

63. Сечение спинки якоря, м²

$$S_J = l_{ст} h_J.$$

64. Сечение сердечника главного полюса, м²

$$S_{\Gamma} = k_c l_{\Gamma} h_{\Gamma}.$$

65. Сечение станины (см. рис. В4) S_{ζ} (м²) берем из п. 59.

1.3.3. РАСЧЕТ МАГНИТНОЙ И ПЕРЕХОДНОЙ ХАРАКТЕРИСТИК

Перед расчетом магнитной цепи следует уточнить все размеры магнитопровода. Полученные для номинальной ЭДС значения индукций на отдельных участках магнитопровода необходимо сравнить с допустимыми.

1.3.3.1. СРЕДНИЕ ДЛИНЫ МАГНИТНЫХ ЛИНИЙ

66. Воздушный зазор δ (м), см. п. 59 и табл. 1.12.

67. Коэффициент воздушного зазора k_{δ} , учитывающий наличие пазов в якоре (см. [1, рис. 11.50, а, б]), при учете только зубчатости ротора $k_{\delta} = k_{\delta a}$:

$$k_{\delta a} = \frac{t_{z1} + 10\delta}{t_{z1} - b_{ш} + 10\delta}.$$

68. Расчетная длина воздушного зазора, м

$$L_0 = k_{\alpha\alpha} \delta.$$

69. Длина магнитной линии в зубцах якоря, м

$$L_z = h_n - 0,2r_1.$$

70. Длина магнитной линии в спинке якоря, м

$$L_j = \frac{\pi D_0 + h_j}{4p} + \frac{h_j}{2}.$$

71. Длина магнитной линии в сердечнике главного полюса, м

$$L_1 = h_1.$$

72. Воздушный зазор между главным полюсом и станиной, м

$$L_{\text{ст}} = 2l_1 \cdot 10^{-4} + 1 \cdot 10^{-4}.$$

73. Длина магнитной линии в станине, м

$$L_c = \frac{\pi D_{\text{вн}} - h_c}{4p} + \frac{h_c}{2}.$$

1.3.3.2. ИНДУКЦИЯ В РАСЧЕТНЫХ СЕЧЕНИЯХ МАГНИТНОЙ ЦЕПИ

Расчетные сечения магнитной цепи из раздела 3.2 (пп. 57–62)

74. Индукция в воздушном зазоре, Тл

$$B_{\delta_{\text{ном}}} = \frac{\Phi_{\delta_{\text{ном}}}}{S_{\delta}},$$

где предварительное значение магнитного потока на полюс берется из п. 37.

75. Индукция в сечении зубцов якоря, Тл

$$B_z = \frac{\Phi_{\delta_{\text{ном}}}}{S_z}.$$

76. Индукция в спинке якоря, Тл

$$B_j = \frac{\Phi_{\text{оном}}}{2S_j}.$$

77. Индукция в сердечнике главного полюса, Тл

$$B_1 = \frac{\sigma_1 \Phi_{\text{оном}}}{S_1}.$$

Для стали 3411 допустимое значение $B_r \leq 1,5$ Тл.

78. Индукция в станине, Тл

$$B_c = \frac{\sigma_r \Phi_{\text{оном}}}{2S_c}.$$

79. Индукция в воздушном зазоре между главным полюсом и станиной, Тл

$$B_{\text{сн}} = B_1.$$

1.3.3.3. МАГНИТНЫЕ НАПРЯЖЕНИЯ

80. Магнитное напряжение воздушного зазора, А

$$F_\delta = 0,8 B_{\text{оном}} L_\delta \cdot 10^6.$$

81. Коэффициент вытеснения потока

$$K_z = \frac{t_z l_\delta}{b_z l_{\text{ст}}}.$$

82. Магнитное напряжение зубцов якоря, А

$$F_z = H_z L_z,$$

где H_z — напряженность магнитного поля в зубах якоря (А/м) определяем по [1, П2.4] для стали 2312 с учетом коэффициента вытеснения потока K_z .

83. Магнитное напряжение ярма якоря,

$$F_j = H_j L_j,$$

где H_j – напряженность магнитного поля в ярме якоря (А/м) определяем по [1, П1 8] для выбранной марки стали 2312 сердечника ротора

84. Магнитное напряжение сердечника главного полюса, А

$$F_r = H_r L_r ,$$

где H_r – напряженность магнитного поля в сердечнике главного полюса (А/м) определяем по [1, П1.16] для стали 3411 сердечника главного полюса

85. Магнитное напряжение воздушного зазора между главным полюсом и станиной, А

$$F_{\text{ст}} = 0,8 B_1 L_{\text{ст}} 10^6 .$$

86. Магнитное напряжение станины, А (см. рис. В2, В4)

$$F_c = H_c L_c ,$$

где H_c – напряженность магнитного поля в станине (А/м) определяем по [1, П1 15] для стали марки Ст3.

87. МДС на полюс, А

$$F_{\Sigma} = F_{\delta} + F_z + F_j + F_l + F_{\text{ст}} + F_c .$$

88. МДС переходного слоя, А

$$F_{\delta_{\text{ср}}} = F_{\delta} + F_z + F_j .$$

Расчет магнитной цепи выполняется в диапазоне изменения ЭДС от 0,25 до 1,3...1,4 $E_{\text{ном}}$ (см. табл. 1.13).

89. По данным из табл. 1.13 строятся магнитная (Г16) $B_{\delta} = f(F_{\Sigma})$ и переходная $B_{\delta} = f(F_{\delta_{\text{ср}}})$ характеристики, рис. 1.5.

Т а б л и ц а 1 13

Расчетная величина	Единица измерения	0,25, E_n	0,5, E_n	0,75, E_n	0,9, E_n	E_n	1,1, E_n	1,2, E_n	1,3, E_n
Магнитный поток, $\Phi_{\text{ном}}$									
Магнитная индукция									

в воздушном зазоре, B_{δ}									
Магнитное напряжение воздушного зазора, F_{δ}									
Магнитная индукция в зубцах якоря B_z									
Напряженность магнитного поля в зубцах якоря H_z									
Магнитное напряжение зубцов F_z									
Магнитная индукция в спинке якоря B_l									
Напряженность магнитного поля в спинке якоря H_l									
Магнитное напряжение ярма якоря F_l									
Магнитный поток главного полюса Φ_r									
Магнитная индукция в сердечнике главного полюса B_r									
Напряженность магнитного поля в сердечнике главного полюса H_r									
Напряженность магнитного поля в станине H_c									
Магнитное напряжение в станине F_c									
Сумма магнитных напряжений всех участков магнитной цепи ΣF									
Сумма магнитных напряжений участков переходного слоя $F_{\delta\sigma}$									

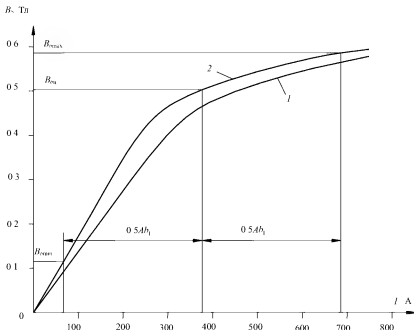


Рис 1 5 Магнитная характеристика (1) и переходная характеристика (2) намагничивания

1.3.3.4. РАЗМАГНИЧИВАЮЩЕЕ ДЕЙСТВИЕ ПОПЕРЕЧНОЙ РЕАКЦИИ ЯКОРЯ F_{dq}

Методики учета влияния *поперечной реакции якоря* (Г17) на поле обмоток возбуждения разнообразны. Простой и достаточно наглядной можно считать графоаналитическую методику, использующую построенные характеристики: магнитную и переходную:

$$F_{dq} = \frac{b_p A \left[\frac{B_{\delta н} - B_{\delta \min}}{B_{\delta н} \cdot B_{\delta \min}} - \frac{B_{\delta \max} - B_{\delta н}}{B_{\delta \max} \cdot B_{\delta н}} \right]}{6}$$

Здесь $B_{\delta \min}$ и $B_{\delta \max}$ найдены из переходной характеристики, $B_{\delta н}$ – индукция в воздушном зазоре при номинальном потоке якоря, взята из расчета.

2. КОЛЛЕКТОР И ЩЕТКИ

Конструкцию коллектора (см. рис. В7–В9) и его диаметр (п 23) выбирают в зависимости от мощности машины, скорости вращения, диаметра якоря и глубины его пазов.

Длина рабочей поверхности коллектора рассчитывается с учетом возможности правильного расположения щеток на одном щеточном болту, типа щеткодержателей и сдвига щеток вдоль коллектора, выполняемого для обеспечения большей равномерности износа его поверхности

Размеры щеток должны соответствовать ГОСТу. Определяющим при выборе щеток является площадь щеточного контакта и ширина щеток, которая предварительно рассчитывается в зависимости от выбранного значения щеточного перекрытия.

90. Оценим ширину щетки, м

$$b_{\text{шт}} = 2 \dots 4 \, t_k,$$

где t_k – коллекторное деление из п. 25, и выбираем (см. таблицу) стандартные размеры щетки $b_{\text{шт}}$, $l_{\text{шт}}$ (см. [1, табл. П4.1]).

Т а б л и ц а 1 14

Выберем $b_{\text{шт}}$, мм – любое значение										
4	5	6,3	8	10	12,5	16	20	25	32	40
$b_{\text{шт}} < l_{\text{шт}}$		Выбираем $l_{\text{шт}}$, мм – не более чем из шести последующих значений								

91. Поверхность соприкосновения щетки с коллектором, м²

$$S_{\text{шт}} = l_{\text{шт}} b_{\text{шт}}.$$

92. Допустимая плотность тока под щетками, А/м²

$$J_{\text{шт}} = 11 \cdot 10^4 \frac{\text{А}}{\text{м}^2}.$$

93. Число щеток на болт

$$N_{\text{шт}} = \frac{I_{\text{ном}}}{\rho S_{\text{шт}} J_{\text{шт}}}.$$

Округляем число щеток до целого числа.

94. Поверхность соприкосновения всех щеток с коллектором, м²

$$\Sigma S_{\text{шт}} = 2 p S_{\text{шт}} N_{\text{шт}}.$$

95. Проверяем плотность тока под щетками, А/м²

$$J_{\text{шт}} = \frac{2 I_{\text{ном}}}{\Sigma S_{\text{шт}}}.$$

96. Активная длина коллектора, м

$$l_k - N_{\text{шт}} l_{\text{шт}} + 8 \cdot 10^{-3} + 10^{-2}.$$

3. РАСЧЕТ ГЕОМЕТРИИ ПАРАМЕТРОВ ИНДУКТОРА

3.1. РАСЧЁТ ДОПОЛНИТЕЛЬНЫХ ПОЛЮСОВ

3.1.1. КОММУТАЦИОННЫЕ ПАРАМЕТРЫ

Проверка коммутации заключается в расчете возникающей в коммутируемых секциях величины реактивной ЭДС E_p и ЭДС E_k , создаваемой добавочным полюсом. В машинах средней и большой мощности дополнительные полюсы устанавливаются в любом случае

97. Укорочение обмотки в коллекторных делениях принимают всегда со знаком плюс

$$\varepsilon_k = \frac{K}{2p} - y_1.$$

98. Ширина зоны коммутации, м (см. пояснения к п. 11.75 [1]) принимают всегда со знаком плюс

$$b_{\text{зк}} = \left(\varepsilon_k - \frac{a}{p} + U_{\text{п}} + \frac{b_{\text{шт}}}{t_k} \right) t_k \frac{D}{D_k}.$$

99. Ширина нейтральной зоны, м

$$b_{\text{нз}} = \tau - b_p,$$

где b_p – ширина полюсного наконечника (см. п. 13)

100. Отношение ширины зоны коммутации к ширине нейтральной зоны

$$K_0 = \frac{b_{\text{зк}}}{\tau \cdot b_p}.$$

101. Проверяем отношение K_0 , которое должно быть в пределах

$$K_0 \leq (0,55 \dots 0,7).$$

102. Уточняем геометрию пазов ротора $h_{\text{ш}}$, $b_{\text{ш}}$ (п. 30) и его длину $l_a = l_{\delta}$ (п. 22)

103. Линейная скорость ротора, м/с

$$v_a = \frac{\pi D n_{\text{ном}}}{60}.$$

104. Коэффициент магнитной проводимости паза ротора (см. п. 11.69 и рис. 11.13 с размерами полузакрытых пазов [1])

$$\lambda = 0,6 \frac{h_{\text{ш}}}{2r_2} + \frac{l_{\text{п}}}{l_a} + \frac{2,5 \cdot 10^5 a}{W_c l_a A v_a p}.$$

105. Реактивная ЭДС (Г18) добавочных полюсов, В (по 11,68 [1])

$$E_p = 2\lambda W_{\delta} l_{\delta} A v_a \cdot 10^{-6}.$$

3.1.2. ГЕОМЕТРИЯ ДОПОЛНИТЕЛЬНЫХ ПОЛЮСОВ

106. Воздушный зазор под добавочным полюсом, м (см. рис. В3 и 1.4).

Зазор под дополнительными полюсами следует выполнять несколько большей величины, чем под главными полюсами. Сечение стали дополнительных полюсов должно обеспечивать сравнительно небольшую индукцию в них, для того чтобы зависимость потока дополнительного полюса от его намагничивающей силы была близка к прямолинейной

107. Расчетная длина воздушного зазора под добавочным полюсом, м

$$L_{\delta\text{д}} = k_{\delta\text{д}} \delta_{\text{д}},$$

где коэффициент воздушного зазора под дополнительным полюсом равен

$$k_{\delta л} = \frac{l_{z1} + 10\delta_{л}}{l_{z1} - b_{ш} + 10\delta_{л}}.$$

108. Средняя индукция в воздушном зазоре под добавочным полюсом, Тл

$$E_{pp} = 1,1 E_p.$$

Принимаем для *ускоренной коммутации* (Г19)

$$B_{од} = \frac{E_{pp}}{2W_c I_{\delta} v_a}.$$

109. Ширину наконечника добавочного полюса принимаем в пределах, м (согласно п. 11.82 [1])

$$b_{дн} = (0,28.....0,56)b_{ск}.$$

Расчетная ширина наконечника добавочного полюса, м

$$b_{д1} = b_{дн} + 2\delta_{л}.$$

110. Магнитный поток добавочного полюса в воздушном зазоре, Вб

$$\Phi_{од} = B_{од} I_{\delta} b_{д1}.$$

Магнитный поток в сердечнике добавочного полюса, Вб

$$\Phi_{л} = \sigma_{л} \Phi_{од},$$

где коэффициент рассеяния добавочного полюса $\sigma_{л} = 2,5.. 3,5$ (см [1, § 11.9])

111. Сечение сердечника добавочного полюса, м²

$$S_{л} = I_{\delta} b_{одн} k_c.$$

112. Расчетная индукция в сердечнике добавочного полюса, Тл

$$B_{сд} = \frac{\Phi_{л}}{S_{л}}.$$

113. Высота добавочного полюса, м

$$L_{\text{д}} = \frac{d_{\text{с}}}{2} \frac{D}{2\delta_{\text{д}}},$$

где $d_{\text{с}}$ – внутренний диаметр станины (п. 58).

3.1.3. РАСЧЕТ ОБМОТКИ ДОБАВОЧНЫХ ПОЛЮСОВ

114. Расчет МДС обмотки добавочных полюсов (Г20).

Магнитная индукция в воздушном зазоре, Тл

$$B_{\delta\text{д}} = \frac{\Phi_{\delta\text{д}}}{b_{\text{дл}} l_{\delta}}.$$

Магнитное напряжение воздушного зазора, А

$$F_{\delta\text{д}} = 0,8 L_{\delta\text{д}} B_{\delta\text{д}} \cdot 10^6.$$

Магнитная индукция в зубцах якоря, Тл

$$B_z = K_z B_{\delta\text{д}}.$$

Напряженность магнитного поля в зубцах якоря H_z , А/м смотрим по кривой намагничивания в [1, П2.4] для стали 2312 с учетом коэффициента вытеснения потока K_z

$$K_z = \frac{l_z l_{\delta}}{b_z l_{\text{ст}}}.$$

Магнитное напряжение зубцов якоря, А

$$F_z = H_z L_z.$$

Магнитная индукция в ярме:

– на участке согласного направления главного потока и потока добавочных полюсов, Тл

$$B_{\text{я1}} = \frac{\Phi_{\text{осном}} + \Phi_{\delta\text{д}}}{2S_{\text{я}}};$$

– на участке встречного направления главного потока добавочных полюсов

$$B_{j2} = \frac{\Phi_{\text{бном}} - \Phi_{\text{бд}}}{2S_j}.$$

Напряженность магнитного поля смотрим по кривой намагничивания по [1, П1.8] для выбранной марки стали 2312 сердечника ротора:

– на участке с индукцией B_{j1} , А/м H_{j1}

– на участке с индукцией B_{j2} , А/м H_{j2}

Средняя напряженность магнитного поля в ярме, А/м

$$H_{\text{ср}} = \frac{H_{j1} + H_{j2}}{2}.$$

Магнитное напряжение якоря, А

$$F_{\text{ср}} = H_{\text{ср}} L_j.$$

Магнитный поток добавочного полюса, Вб

$$\Phi_d = \sigma_d \Phi_{\text{бд}}.$$

Магнитная индукция в сердечнике добавочного полюса, Тл

$$B_{\text{сд}} = \frac{\Phi_d}{S_d}.$$

Напряженность магнитного поля в сердечнике добавочного полюса $H_{\text{сд}}$, А/м смотрим по кривой намагничивания для стали Ст3 при $D \leq 160$ мм (см. [1, П1.15]), при $D > 160$ мм, смотрим по кривой намагничивания для стали марки 3411 толщиной 1,0 мм (см. [1, П1.16]).

Магнитное напряжение сердечника добавочного полюса, А

$$F_{\text{сд}} = L_d H_{\text{сд}}.$$

Магнитное напряжение воздушного зазора между станиной и добавочным полюсом. Рабочий зазор между станиной и добавочным полюсом принимаем $\delta_{\text{сдп}} = 0,2 \cdot 10^{-3}$

$$F_{\text{сдп}} = 0,8 B_{\text{сд}} \delta_{\text{сдп}} \cdot 10^6.$$

$$\Phi_{\text{г}} = \sigma_{\text{г}} \Phi_{\text{дном}}.$$

Магнитная индукция в станине:

· на участке согласного направления магнитных потоков главного и добавочного полюсов $B_{\text{с1}} = \frac{\Phi_{\text{г}} + \Phi_{\text{д}}}{2S_{\text{с}}}$;

· на участке встречного направления магнитных потоков главного и добавочного полюсов $B_{\text{с2}} = \frac{\Phi_{\text{г}} - \Phi_{\text{д}}}{2S_{\text{с}}}$.

Напряженность магнитного поля в станине смотрим по кривой намагничивания для выбранной стали (см. [1, П1]):

– на участке с индукцией $B_{\text{с1}}$, А/м $H_{\text{с1}}$;

– на участке с индукцией $B_{\text{с2}}$, А/м $H_{\text{с2}}$.

Средняя напряженность магнитного поля в станине

$$H_{\text{ср}} = \frac{H_{\text{с1}} + H_{\text{с2}}}{2}.$$

Магнитное напряжение участка станины

$$F_{\text{с}} = H_{\text{ср}} L_{\text{с}}.$$

Сумма магнитных напряжений всех участков .

$$F_{\text{д\lambda}} = F_{\delta\text{д}} + F_{\text{з}} + F_{\text{г}} + F_{\text{с}} + F_{\text{сд}} + F_{\delta\text{сдп}}.$$

115. МДС обмотки добавочных полюсов, А

$$F_{\text{д}} = F_{\text{д\lambda}} + A \frac{\tau}{2}.$$

116. Число витков добавочного полюса на один полюс (по п. 11.87 [1]) округляется до целого числа

$$W_d = \frac{F_d}{I_{ном}}$$

При токе I_d меньше 1000 А целесообразно принимать $a_d = 1$. Для многослойных обмоток выбираем согласно рекомендации в [1, § 11.9] плотность тока $J_i = (2 \dots 3) \cdot 10^6 \text{ А/м}^2$ (см. [1, с. 641]).

117. Предварительное сечение проводников, м^2 (по [1, п. 11.88])

$$q_d = \frac{I_{ном}}{a_d J_d}$$

118. Принимаем проводник обмотки добавочных полюсов: круглый провод марки ПСД (см. [1, табл. 11.18]) размерами (табл. ПЗ.1 и ПЗ.3):

- сечение провода q_d , м^2 (табл. 1.6),
- диаметр d_r , м (табл. 1.6),
- диаметр изолированного провода, м $d_{и1}$.

Выполняем эскиз катушки добавочного полюса и определяем предварительное значение ширины катушки $b_{к\tau д}$ (см. [1, рис. 11.24]).

119. Принимаем сердечник полюса короче якоря на $1 \cdot 10^{-3}$ м с каждой стороны для создания опоры для катушки. Длина сердечника, м

$$l_d = l_\delta - 2 \cdot 10^{-3}.$$

120. Средняя длина витка обмотки добавочного полюса, м (по [1, п. 11.89])

$$l_{ср} = 2(l_d + b_{дн}) + \pi b_{к\tau д} + 2 \Delta_{и3},$$

где $\Delta_{и3}$ - односторонний размер зазора между сердечником добавочного полюса и катушкой с учетом изоляции сердечника: $\Delta_{и3} = 1,7 \cdot 2,2 \cdot 10^{-3}$ м, при диаметрах якоря до 500 мм, а ширина добавочного полюса $b_{к\tau д}$ определяется из эскиза катушки добавочного полюса

121. Полная длина проводников обмотки, м

$$L_d = 2 p l_{ср} W_d.$$

122. Сопротивление обмотки добавочных полюсов при температуре 20 °С, Ом

$$R_{\text{д}} = \frac{L_{\text{д}}}{57 \cdot 10^6 q_{\text{д}} a_{\text{д}}^2}.$$

123. Сопротивление обмотки добавочных полюсов при температуре 75 °С, Ом

$$R_{\text{д}75} = 1,22 R_{\text{д}}.$$

124. Масса меди обмотки добавочных полюсов, кг

$$m_{\text{д}} = 8,9 \cdot 10^{-3} L_{\text{д}} q_{\text{д}}.$$

3.2. ПОТЕРИ ХОЛОСТОГО ХОДА

В работе необходимо определить потери как в *режиме холостого хода* (21), так и под нагрузкой.

Различают *потери магнитные основные* (Г10) – в электротехнической стали ярма и зубцов якоря и поверхностные – в полюсных наконечниках.

Основные электрические потери (Г22) – в обмотках якоря, добавочных полюсов, обмотках возбуждения и в щеточных контактах.

Механические потери (Г23) на трение в подшипниках и вентиляционные могут быть определены совместно по эмпирическим формулам или кривым, полученным на основании испытаний машин нормально-го исполнения. Потери на трение щеток о коллектор рассчитываются для каждой конкретной машины.

Добавочные потери (Г24) для машин, спроектированных без существенных отклонений от нормального исполнения, определяются в соответствии с рекомендациями ГОСТ.

125. Потери на трение щеток о коллектор, Вт

$$P_{\text{тщ}} = \sum S_{\text{щГ}} p_{\text{щ}} f v_k,$$

где $p_{\text{щ}}$ – давление на щетку; для щетки марки ЭГ-14 $p_{\text{щ}} = 3 \cdot 10^4$ Па; f – коэффициент трения щетки $f = 0,2$.

126. Потери в подшипниках и на вентиляцию, $P_{\text{тп}} + P_{\text{вент}} = P_{\text{тп вент}}$ Вт, определяются по рис. 11.28 [1].

127. Масса стали ярма якоря, кг определяется по 10.103 [1]

$$m_j = 7,8 \cdot 10^{-3} \cdot \frac{\pi \left[D \cdot 2h_{\text{я}}^2 \cdot D_0^2 \right] l_{\text{ст}} k_c}{4}.$$

128. Условная масса стали зубцов якоря, кг

$$m_z = 7800 Z b_z \left(h_1 + \frac{r_1 + r_2}{2} \right) l_{\delta} k_c.$$

129. Магнитные потери в ярме якоря, Вт

$$p_j = 2,3 \cdot 1,75 B_j^2,$$

$$P_j = m_j p_j.$$

130. Магнитные потери в зубцах якоря, Вт

$$p_z = 2,3 \cdot 1,75 B_z^2,$$

$$P_z = m_z p_z.$$

131. Сумма потерь

$$\Sigma P_0 = P_{\text{щ}} + P_{\text{тп вент}} + P_j + P_z.$$

132. Ток якоря, А и ЭДС холостого хода, В

$$I_{\text{х х}} = \frac{\Sigma P_0}{U_{\text{ном}}},$$

$$E_{\text{х х}} = U_{\text{ном}} - I_{\text{х х}} (R_a + R_{\text{д}}) - 2\Delta U_{\text{щ}},$$

где $2\Delta U_{\text{щ}} = 2,5$ В – падение напряжения в щеточном контакте, выбирается согласно табл. П4.2 [1].

133. Магнитный поток на х.х., Вб

$$\Phi_{\text{х х}} = \frac{60 E_{\text{х х}} a}{\rho N n_{\text{мах}}}.$$

134. Индукция в воздушном зазоре в режиме х.х., Тл

$$B_{\delta} = \frac{\Phi_{xx}}{\alpha_{\delta} \tau l_{\delta}}.$$

3.3. РАСЧЕТ ОБМОТОК ВОЗБУЖДЕНИЯ

Намагничивающая сила обмоток возбуждения в нашем случае определяется в режиме холостого хода при номинальной нагрузке с помощью магнитной характеристики и по переходной характеристике путем добавочных построений, учитывающих степень влияния поперечной реакции якоря.

Метод расчета числа витков и сечения провода обмоток возбуждения зависит от назначения машины и системы ее возбуждения.

При расчете сечения и числа витков на полюс параллельной обмотки необходимо принять во внимание коэффициент запаса по возбуждению и увеличение сопротивления обмотки при нагревании.

Следует учесть, что обмотки возбуждения обычно не имеют параллельных ветвей ($a = 1$), лишь при токах якоря, больших 200 А, последовательную обмотку соединяют в две ветви и реже в большее число параллельных ветвей.

135. По магнитной характеристике определяем МДС холостого хода, т. е. ту, которую создает параллельная обмотка, А ΣF_0

$$F_{ш} = \Sigma F_0.$$

136. ЭДС номинального режима, В.

$$E_{ном} = U_{ном} + I_{ном} R_a + R_d \cdot 2 \cdot \Delta U_{ш}.$$

137. Номинальный магнитный поток в воздушном зазоре, Вб

$$\Phi_{ном} = \frac{60 E_{ном} a}{p N n_{ном}}.$$

138. По магнитной характеристике находим МДС ΣF_n , А

139. Размагничивающее действие якоря находим по переходной характеристике F_{qd} , А (см. раздел 1.3.3.4).

140. Необходимая МДС последовательной обмотки возбуждения

$$F_c = \Sigma F_n + F_{qd} - F_{ш}.$$

3.3.1. РАСЧЕТ ПАРАЛЛЕЛЬНОЙ ОБМОТКИ ВОЗБУЖДЕНИЯ

141. Принимаем предварительно ширину катушки параллельной обмотки возбуждения $b_{\text{кТВ}}$, м, односторонний зазор между катушкой и полюсом $\Delta_{\text{пк}}$, м, тогда, средняя длина витка обмотки, м

$$l_{\text{срш}} = 2 l_r + b_r + \pi b_{\text{кТВ}} + \Delta_{\text{пк}}.$$

Порядок определения размеров катушек обмотки смотри в [1, § 11.7]

142. Сечение меди параллельной обмотки, м^2 .

Число параллельных ветвей обмотки параллельного возбуждения при последовательном соединении катушек $a = 1$, коэффициент запаса МДС обмотки $k = 1, 1, \dots, 1$,

$$q_{\text{ш}} = \frac{k_a \cdot 2 p F_{\text{ш}} l_{\text{срш}} a}{57 \cdot 10^6 U_{\text{ном}}}.$$

Принимаем по табл. 1.6 провод (см. [1, п. 11.18], марку и размеры провода – по табл. П 3.1 [1]):

- диаметр неизолированного провода, d_1 , м,
- диаметр изолированного провода $d_{\text{из}}$, м,
- сечение провода $S_{\text{ш}}$, м^2 .

143. Выбираем номинальную плотность тока $J_A = (2 \dots 3) 10^6 \text{ А/м}^2$ для машин со степенью защиты IP44 (см. [1, с. 632].

144. Число витков на полюс округляем до целого числа

$$w_{\text{ш}} = \frac{F_{\text{ш}}}{J_{\text{ш}} q_{\text{ш}}}.$$

145. Определяем номинальный ток возбуждения, А

$$I_{\text{ш}} = \frac{F_{\text{ш}}}{w_{\text{ш}}}.$$

146. Полная длина обмотки, м

$$L_{\text{ш}} = 2 p l_{\text{срш}} w_{\text{ш}}.$$

147. Сопротивление обмотки возбуждения при температуре 20 °C, Ом

$$R_{ш} = \frac{L_{ш}}{57 \cdot 10^6 q_{ш}}.$$

148. Сопротивление обмотки возбуждения при температуре 75 °C, Ом

$$R_{ш} = 1,22 R_{ш}.$$

149. Масса меди обмотки возбуждения, кг

$$m_{мш} = 8,9 \cdot 10^3 L_{ш} q_{ш}.$$

3.3.2. РАСЧЕТ ПОСЛЕДОВАТЕЛЬНОЙ ОБМОТКИ ВОЗБУЖДЕНИЯ

150. Ток последовательной обмотки возбуждения, А

$$I_c = I_{ном}.$$

151. Число витков последовательной обмотки возбуждения на полюс округляем до целого числа

$$w_c = \frac{F_c}{I_c}.$$

152. Сечение меди последовательной обмотки, м²

$$q_c = \frac{I_c}{J_{ш}}.$$

Принимаем предварительно ширину катушки параллельной обмотки $b_{кге}$, м.

Односторонний зазор между катушкой и полюсом $\Delta_{изк}$, м, тогда средняя длина витка обмотки, м

$$l_{ср} = 2 l_{г} + b_{г} + \pi b_{кге} + \Delta_{изк}.$$

Принимаем по табл. 10.18 [1] провод, по табл. П 3.2 [1] – размеры провода:

размер по большей стороне b , м;

– размер по меньшей стороне a , м;

– сечение провода $S_{\text{ит}}$, м^2 :

$$q_c = S_{\text{ит}}.$$

153. Полная длина обмотки, м

$$L_{\text{св}} = 2pl_{\text{срс}}w_c.$$

154. Сопротивление обмотки возбуждения при температуре 20 °С, Ом

$$R_c = \frac{L_{\text{св}}}{57 \cdot 10^6 q_c}.$$

155. Сопротивление обмотки возбуждения при температуре 75 °С, Ом

$$R_{c75} = 1,22 R_c.$$

156. Масса меди обмотки возбуждения, кг

$$m_{\text{мс}} = 8,9 \cdot 10^3 L_{\text{св}} q_c.$$

157. Уточняем ток двигателя, А

$$I_{\text{ут}} = I_c + I_{\text{ш}}.$$

Конструкции изоляции и крепления обмоток главных полюсов приведены в [1, табл. 11.2, 11.3].

4. РАБОЧИЕ ХАРАКТЕРИСТИКИ

При построении *рабочих характеристик* (Г25) двигателя и уточнении его номинальных данных принимаем, что потери холостого хода двигателя практически не меняются при изменении нагрузки и составляют ΣP_0 , Вт.

При расчете характеристик принимаем напряжение питания $U_{\text{ном}} = 220$ В, ток возбуждения параллельной обмотки соответствует номинальному значению тока возбуждения, рассчитанному в п. 160

158. МДС реакции якоря.

Расчеты по переходной характеристике значений F_{qd} при нескольких значениях тока якоря и графическое построение характеристики

$F_{qd} = f(I)$ показывают, что эту характеристику можно аппроксимировать функцией типа

$$F_{qd} = F_{qd} \left(\frac{I_t}{I_{ном} - 15} \right).$$

Поэтому в дальнейшем будем использовать эту функцию для учета размагничивающего действия реакции якоря при построении рабочих характеристик двигателя.

Порядок расчета

159. Задаемся значением тока якоря $I_t = 0 \dots I_t = 1,25 I_{ном}$.

Ток в последовательной катушке и ток якоря равны, А

$$I_c = I_t.$$

160. Ток двигателя, А

Ток двигателя равен сумме токов в якоря и параллельной катушки

$$I_l = I_t + I_{ш},$$

где $I_{ш} = \frac{U_{ном}}{R_{ш75}}$.

161. Суммарная намагничивающая сила, А

Намагничивающие силы последовательной и параллельной катушек находим исходя из токов этих катушек и числа витков, размагничивающее действие реакции якоря — по п.1.3.3.4, тогда

$$\Sigma F = F_{ш} + F_c - F_{qd},$$

где $F_{ш} = I_{ш} w_{ш}$, а $F_c = I_t w_c$.

162. По магнитной характеристике (рис. 1.5) определяем индукцию магнитного поля в воздушном зазоре B_{δ} , Тл

163. Магнитный поток в воздушном зазоре, Вб

$$\Phi_{\delta} = B_{\delta} S_{\delta}.$$

164. ЭДС обмотки якоря, В

$$E = U_{ном} - I_{ном} R_{ан} + R_{с75} + R_{д75} - 2\Delta U_{щ}.$$

165. Частота вращения, об/мин

$$n = 60 \frac{E}{\Phi_{\delta} p N}.$$

166. Полезная мощность на валу двигателя, Вт

$$P_2 = EI_t - \Sigma P_0 - P_{\text{доб}} \left(\frac{I_t}{I_{\text{ном}}} \right)^2.$$

Расчёт рабочих характеристик

№ п/п	I_t	I_1	ΣF	Φ_{δ}	E	n	P_2	P_1	η	M
	А	А	А	Вб	В	об/мин	кВт	кВт	о е	Нм
1	0 Режим х х					n_0 макси- мальная частота вращения	0		0	0
2										
3										
t										
н						n_n номиналь- ная частота вращения	P_{2n}^{*1}			
J										

Номинальная мощность P_{2n}^{*1} выставляется на графике и затем определяются параметры номинального режима

- Примечание*
- 1 n_0 – максимальная частота вращения не соответствует заданию изменить число витков параллельной обмотки
 - 2 n_n – номинальная частота вращения не соответствует заданию изменить число витков последовательной обмотки
 - 3 Ослабление поля возбуждения приводит к увеличению частоты вращения

167. Потребляемая мощность $P_1 = UI_1$, Вт.

168. Коэффициент полезного действия $\eta = \frac{P_2}{P_1}$, о. е.

169. Вращающий момент $M = 9,57 \cdot 10^{-3} \frac{P_2}{n}$, Н/м.

Результаты расчетов сводят в таблицу и строят графики $I_1=f(P_2)$, $P_1=f(P_2)$, $n=f(P_2)$, $M=f(P_2)$, $\eta=f(P_2)$.

Показатели номинального режима двигателя определяются из рабочих характеристик при полезной номинальной мощности $P_{2ном}$.

СПИСОК ЛИТЕРАТУРЫ

1 *Проектирование* электрических машин учеб для вузов / И П Копылов Б К Клоков, В П Морозкин, Б Ф Токарев, под ред И П Копылова – 4-е изд, перераб и доп – М Высш шк, 2005 – 767 ил

2 *Копылов И П* Электрические машины. учеб для вузов / И П Копылов – 3-е изд, испр М Высш шк, 2002 – 607с

3 *Шанищуров Г А, Гречкин В В, Комаров А В, Честюнина Т В* Теория и расчет машин постоянного тока учеб-метод пособие для студентов ускоренного и заочного обучения (электронный ресурс) с программой расчета двигателей постоянного тока смешанного возбуждения – Режим доступа [www.em.power.nstu.ru 20.04.2010]

4 *Беспалов В Я* Электрические машины учеб пособие для студ высш учеб заведений / В Я Беспалов, Н Ф Котеленец – М Изд центр «Академия», 2006 – 320 с

5 *Вольдек А И, Попов В В* Электрические машины Введение в электро-механику Машины постоянного тока и трансформаторы учебник для вузов – СПб Питер, 2007 – 320 с ил

ВОПРОСЫ ДЛЯ САМОПРОВЕРКИ

Выбор главных размеров

- 1 Что называется главными размерами? От чего они зависят?
- 2 Как влияет величина линейной нагрузки на габариты двигателя, его энергетические показатели? Индукции в зазоре?
- 3 Что означает степень защиты IP22, IP44?
- 4 Какие вы знаете стандартные высоты оси вращения?
- 5 Какие классы изоляции применяются для серии 2 П?
- 6 В каких случаях применяются простые волновые и петлевые обмотки?
- 7 Какое допускается напряжение между коллекторными пластинами и почему?
- 8 Может ли быть число витков в секции дробным?

Электромагнитные нагрузки

- 1 Как выбирается сечение эффективного проводника?
- 2 Каков максимальный диаметр круглого проводника при укладке в полужакрытый паз?
- 3 Каков максимально возможный коэффициент заполнения паза?
- 4 Каковы предельные индукции в зубце, ярме якоря?
- 5 Какие марки сталей применяются для производства машин постоянного тока?
- 6 Какая изоляция паза используется в двигателях серии 2П?
- 7 Как выбирается величина воздушного зазора?

Расчет магнитной цепи и параллельной обмотки возбуждения

- 1 На какие элементы делится магнитная цепь машины постоянного тока?
- 2 Как рассчитывается магнитное напряжение участка магнитной цепи?
3. Что такое коэффициент рассеяния главных полюсов?

- 4 Чем отличается характеристика холостого хода и переходная характеристика?
- 5 Как определяется размагничивающее действие реакции якоря?
- 6 Как рассчитываются параметры параллельной обмотки возбуждения?

Расчет добавочных полюсов

- 1 Для чего применяют добавочные полюса?
- 2 Как выбирается зазор под добавочным полюсом?
- 3 Как проходит по магнитопроводу магнитный поток добавочного полюса?

Расчет последовательной обмотки возбуждения

1. Какие потери существуют в машинах постоянного тока?
- 2 Что влияет на магнитные потери и в каких частях машины они выделяются?
- 3 Для чего применяют последовательную обмотку возбуждения?
- 4 Как включается эта обмотка?
- 5 Как изменяется величина размагничивающего действия реакции якоря и намагничивающая сила последовательной обмотки с ростом нагрузки?
6. Как определяется суммарная МДС?
- 7 Как рассчитывается ЭДС якоря при заданных сопротивлениях и токе якоря?

Расчет рабочих характеристик двигателя

- 1 Для чего необходима характеристика холостого хода при расчете рабочих характеристик?
- 2 Как можно найти частоту вращения двигателя, развиваемый момент на валу, КПД?
- 3 Для чего производят тепловой и вентиляционный расчеты?
4. Каковы допустимые перегревы для выбранного класса изоляции?

Приложение 2

Варианты задания

№ п/п	Мощность, КВт	Частота вращения		Напряжение, В	Аналог типа
		Ном	Макс		
1	10,5	3000	4000	220	2ПН132УХЛ4
2	10,5	3000	4000	440	2ПН132УХЛ4
3	8,5	2200	4000	220	2ПН132УХЛ4
4	8,5	2240	4000	440	2ПН132УХЛ4
5	14	3150	4000	220	2ПН132УХЛ4
6	14	3150	4000	440	2ПН132УХЛ4
7	13	2120	4000	220	2ПН160УХЛ4
8	13	2360	4000	440	2ПН160УХЛ4
9	18	3150	4000	220	2ПН160УХЛ4
10	18	3150	4000	440	2ПН160УХЛ4
11	11	1500	4000	220	2ПН160УХЛ4
12	11	1600	3750	440	2ПН160УХЛ4
13	16	2360	4000	220	2ПН160УХЛ4
14	16	2360	4000	440	2ПН160УХЛ4
15	24	3150	4000	220	2ПН160УХЛ4
16	24	3150	4000	440	2ПН160УХЛ4
17	15	1500	4000	220	2ПН180УХЛ4
18	15	1500	3500	440	2ПН180УХЛ4
19	26	2240	3500	220	2ПН180УХЛ4
20	26	2240	3500	440	2ПН180УХЛ4
21	10	1000	3500	110	2ПН180УХЛ4
22	10	1000	3000	220	2ПН180УХЛ4
23	10	1000	2500	440	2ПН180УХЛ4
24	18,5	1500	3500	220	2ПН180УХЛ4

О к о н ч а н и е т а б л и ц ы

№ п/п	Мощность, КВт	Частота вращения		Напряжение, В	Аналог типа
		Ном	Макс		
25	18,5	1600	3500	440	2ПН180УХЛ4
26	13	1120	3500	110	2ПН200УХЛ4
27	13	1120	3000	220	2ПН200УХЛ4
28	13	1000	2500	440	2ПН200УХЛ4
29	22	1500	3500	220	2ПН200УХЛ4
30	22	1500	3500	440	2ПН200УХЛ4
31	36	2200	3500	220	2ПН200УХЛ4
32	36	2200	3500	440	2ПН200УХЛ4
33	11	800	3000	110	2ПН200УХЛ4
34	11	800	2500	220	2ПН200УХЛ4
35	11	750	1850	440	2ПН200УХЛ4
36	16	1000	3000	220	2ПН200УХЛ4
37	16	1000	2500	440	2ПН200УХЛ4
38	30	1500	3500	220	2ПН200УХЛ4
39	30	1500	3500	440	2ПН200УХЛ4

Примечание. Конкретный вариант задания выдается руководителем

ЭМФ НГТУ

Кафедра электромеханики

Задание на курсовой проект

«Двигатели постоянного тока смешанного возбуждения»

Исходные данные:

- * мощность, кВт $P_{\text{ном}} =$ _____
- * частота вращения, об/мин
 номинальная $n_{\text{ном}} =$ _____
 максимальная $n_{\text{мах}} =$ _____
- * напряжение, В $U_{\text{ном}} =$ _____
- * возбуждение смешанное
- * аналог двигателя _____

Содержание пояснительной записки и перечень графического материала, выполняемого на формате А4:

1. Описание конструктивного исполнения электродвигателя (см аналог).
2. Схема включения электродвигателя на сеть.
3. Выбор главных размеров и расчет обмотки якоря. Компоновка элементов магнитной цепи.
4. Эскиз и спецификация паза ротора с элементами обмотки якоря.
5. Расчет магнитной цепи и выбор параметров обмоток возбуждения.
6. Эскиз поперечного сечения магнитной системы и размещения обмоток возбуждения на полюсах (фрагмент междуполюсного окна).
7. Расчет механической (естественной), скоростной и рабочих характеристик двигателя, их графическое представление.

График выполнения работ

Недели:

- 1, 2 знакомство с теоретическим материалом по предложенной литературе;
 - 3, 4 – выполнение пп. 1 и 2 задания;
 - 5, 6 – выполнение пп. 3 и 4 задания;
 - 7, 8 – выполнение пп. 5 и 6 задания;
 - 9, 10 – выполнение п. 7 и представление расчетов на проверку;
 - 11, 12 – оформление пояснительной записки с эскизами и сдача на рецензию,
 - 13, 14, 15 – защита курсового проекта.
- Задание получил студент группы. _____
- Фамилия, И, О _____

Глоссарий

№ п/п	Термин	Определение
1	Электрическая машина	
2	Электродвигатель	Электрическая машина, предназначенная для преобразования электрической энергии в механическую энергию
3	Коллектор	Комплект изолированных друг от друга токопроводящих пластин с расположенными на них щётками, обеспечивающий протекание тока во вращающейся электрической машине из одной части цепи в другую при помощи скользящего контакта
4	Машина смешанного возбуждения	Машина, имеющая по меньшей мере две обмотки возбуждения, одна из которых соединена с цепью якоря последовательно, а остальные параллельно
5	Обмотка возбуждения	Обмотка электрической машины, предназначенная для создания магнитного поля возбуждения
6	Скоростная характеристика вращающегося электродвигателя	Зависимость частоты вращения ротора вращающегося электродвигателя от потребляемого тока
7	Якорь коллекторной машины постоянного тока	Часть коллекторной машины постоянного тока (обмотка), в которой индуцируется электродвижущая сила (ЭДС) и протекает ток нагрузки
8	Магнитная индукция в рабочем зазоре электрической машины постоянного тока	Амплитуда кривой распределения магнитной индукции в основном воздушном зазоре в режиме холостого хода электрической машины постоянного тока
9	Основной воздушный зазор вращающейся электрической машины	Минимальное расстояние в радиальном направлении между неподвижной и движущейся частями магнитопровода вращающейся электрической машины
10	Основные магнитные потери вращающейся электрической машины	Потери от гистерезиса и вихревых потоков, возникающих в ферромагнитных участках магнитной цепи во вращающейся электрической машине при их перемагничивании основным магнитным потоком

Продолжение таблицы

№ п/п	Термин	Определение
11	Паз вращающейся электрической машины	Углубление или полость вблизи поверхности магнитопровода статора или ротора вращающейся электрической машины, обращенные к основному воздушному зазору, предназначенные для размещения проводов обмотки
12	Коммутация коллекторной машины	Переключение секций обмотки якоря коллекторной машины из одной параллельной ветви в другую
13	Зубец вращающейся электрической машины	Часть магнитопровода между соседними пазами вращающейся электрической машины
14	Полус вращающейся электрической машины	Часть сердечника вращающейся электрической машины, на котором расположена обмотка возбуждения или выступающая в направлении воздушного зазора часть магнитопровода
15	Реакция якоря вращающейся электрической машины	Воздействие магнитодвижущей силы обмотки якоря на магнитное поле вращающейся электрической машины, создаваемое обмоткой возбуждения или постоянными магнитами
16	Магнитная характеристика вращающейся электрической машины	Зависимость магнитного потока в воздушном зазоре вращающейся электрической машины от тока возбуждения
17	Поперечная реакция якоря вращающейся электрической машины	Реакция якоря вращающейся электрической машины, образуемая составляющей намагничивающей силы обмотки якоря, создающей магнитный поток, направленный по поперечной оси полюсов
18	Реактивная коммутационная ЭДС коллекторной машины	Электродвижущая сила, возникающая в коммутируемой секции коллекторной машины вследствие изменения тока в ней и токов в других одновременно коммутируемых секциях, имеющих индуктивную связь с ней

О к о н ч а н и е т а б л и ц ы

№ п/п	Термин	Определение
19	Ускоренная коммутация коллекторной машины	Коммутация коллекторной машины, при которой средняя скорость изменения тока в коммутирующей секции в первую половину периода коммутации больше чем во вторую
20	Обмотка добавочных полюсов вращающейся электрической машины	Обмотка вращающейся электрической машины, расположенная на добавочных полюсах, по которой протекает ток, равный или пропорциональный току нагрузки, и предназначенная для создания коммутирующего поля
21	Режим холостого хода вращающейся электрической машины	Режим холостого хода вращающегося электродвигателя при номинальном напряжении, но без нагрузки
22	Основные электрические потери вращающейся электрической машины	Потери в обмотках вращающейся электрической машины, определяемые как произведение сопротивления постоянному току на квадрат тока в обмотке, и электрические потери в скользящих контактах
23	Механические потери вращающейся электрической машины	Потери вращающейся электрической машины, возникающие в результате трения в подшипниках, трения щёток о коллектор или контактные кольца, трения вращающихся частей о воздух, вентиляционные и другие потери на трение
24	Добавочные потери вращающейся электрической машины	Потери вращающейся электрической машины, возникающие в результате наличия высших гармонических в кривых намагничивающей силы обмоток, потока рассеяния обмоток, пульсации магнитного потока в воздушном зазоре, вытеснения тока в проводниках и других не основных электромагнитных процессов
25	Рабочие характеристики вращающегося электродвигателя	Зависимость подводимой мощности, тока в обмотке якоря, частоты вращения, коэффициента полезного действия от полезной мощности на валу при неизменных напряжения питающей сети и внешних сопротивлениях в цепях обмоток

ОГЛАВЛЕНИЕ

ПРЕДИСЛОВИЕ	3
ВВЕДЕНИЕ	4
1 ЭЛЕКТРОМАГНИТНЫЙ РАСЧЕТ	12
1 1 Выбор электромагнитных нагрузок и главных размеров	13
1 2 Определение параметров магнитной системы и обмотки якоря	15
1 2 1 Число полюсов	16
1 2 2 Обмотка, пазы и ярмо якоря	16
1 2 3 Выбор обмотки якоря	18
1 2 4 Расчет геометрии зубцовой зоны	22
1 2 5 Расчет обмотки якоря	25
1 3 Расчет магнитной цепи	26
1 3 1 Определение размеров магнитной цепи	26
1 3 2 Расчетные сечения магнитной цепи	29
1 3 3 Расчет магнитной и переходной характеристик	29
2 КОЛЛЕКТОР И ЩЕТКИ	35
3 РАСЧЕТ ГЕОМЕТРИИ И ПАРАМЕТРОВ ИНДУКТОРА	36
3 1 Расчет дополнительных полюсов	36
3 1 1 Коммутационные параметры	36
3 1 2 Геометрия дополнительных полюсов	37
3 1 3 Расчет обмотки добавочных полюсов	39
3 2 Потери холостого хода	43
3 3 Расчет обмоток возбуждения	45
3 3 1 Расчет параллельной обмотки возбуждения	46
3 3 2 Расчет последовательной обмотки возбуждения	47
4 РАБОЧИЕ ХАРАКТЕРИСТИКИ	48
Список литературы	51
Приложение 1 Вопросы для самопроверки	52
Приложение 2 Варианты задания	54
Приложение 3 ЭМФ НГТУ	56
Глоссарий	57